Generacja kolorowego pola radiestezyjnego, tradycyjne generatory kolorów radiestezyjnych

Diana Wojtkowiak

2026

Abbe Mermet – powłoki magnetyczne

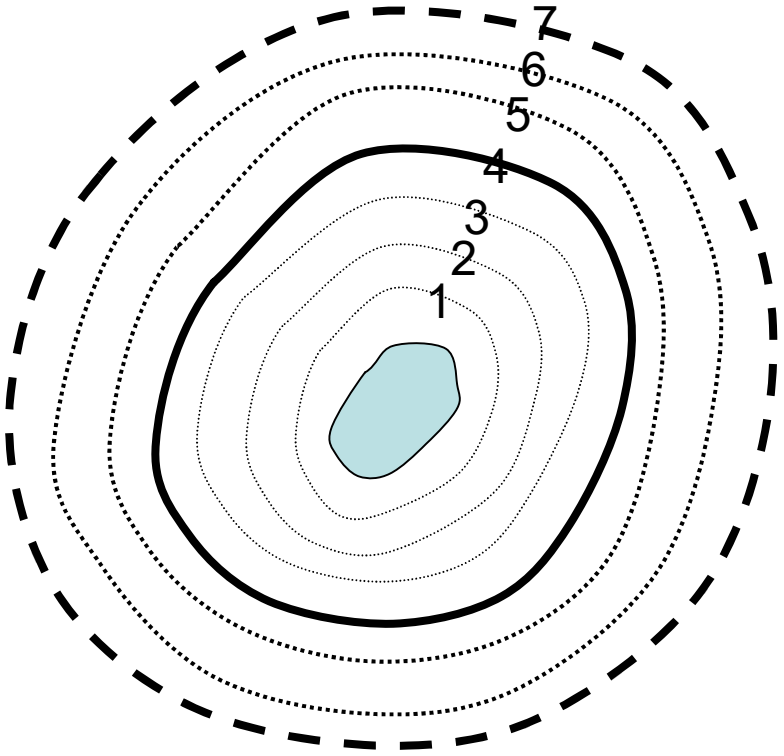

Mermet

promień podstawowy – kierunek od przedmiotu względem północy
promień mózgowy – od mózgu do przedmiotu
promień świetlny – od Słońca światło + promieniowanie radestezyjne
promień świadka - łączy przedmioty z tego samego materiału

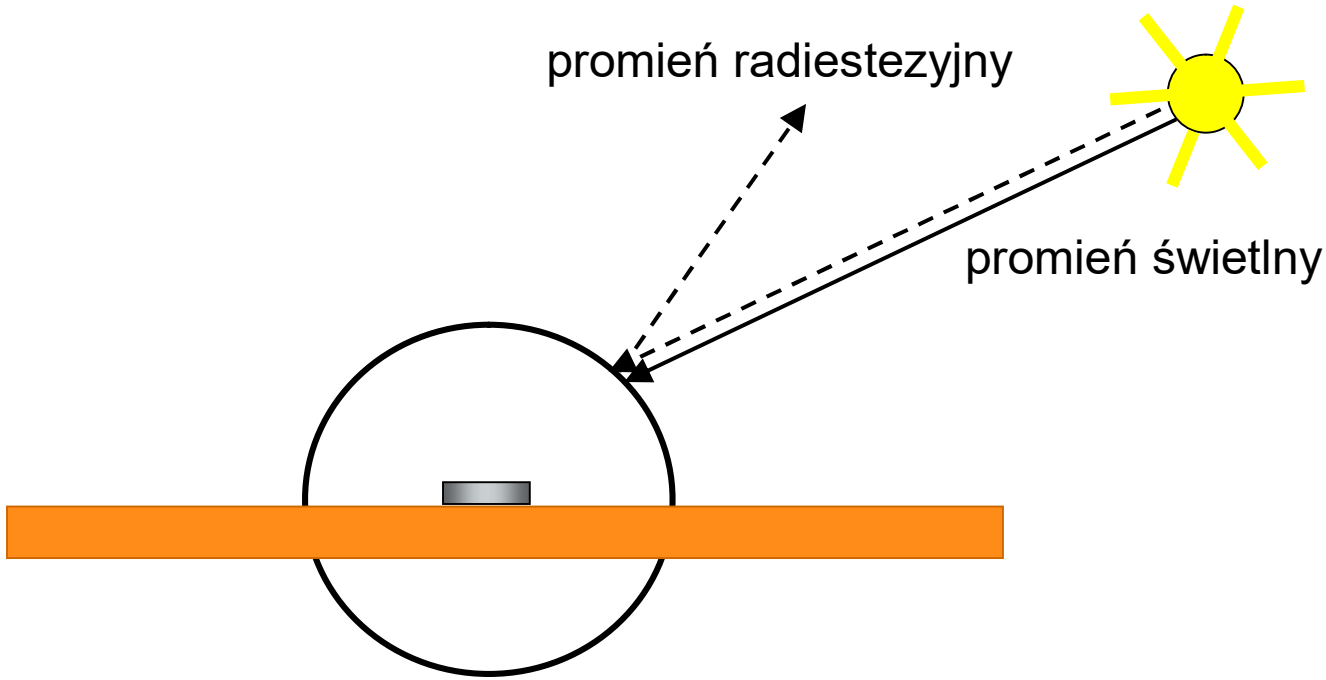

Badanie fraktala planetarnego kuli w wirowym polu torsyjnym Ziemi

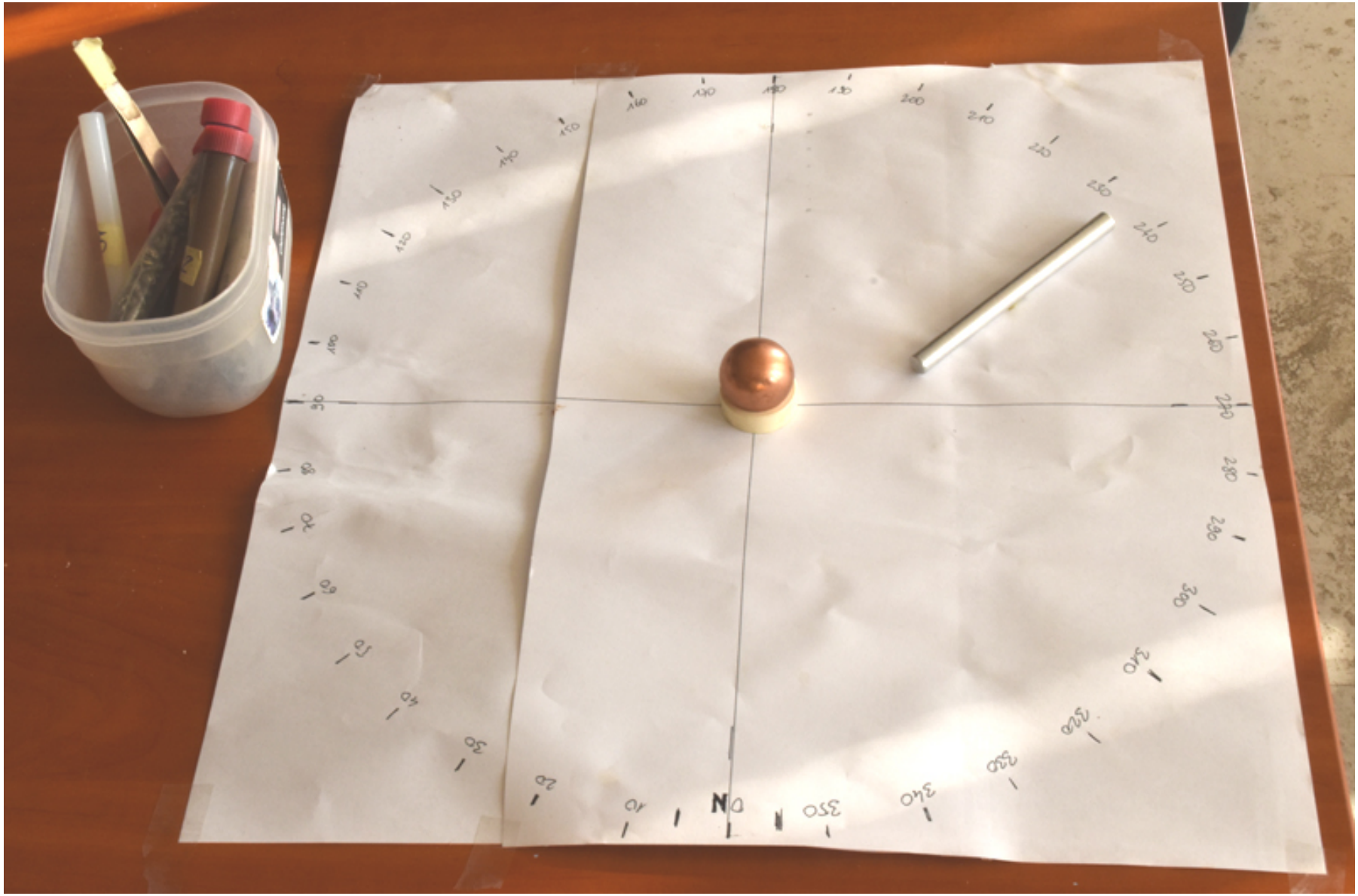

Symetria 1

Powiązanie promienia podstawowego z Kategoriami

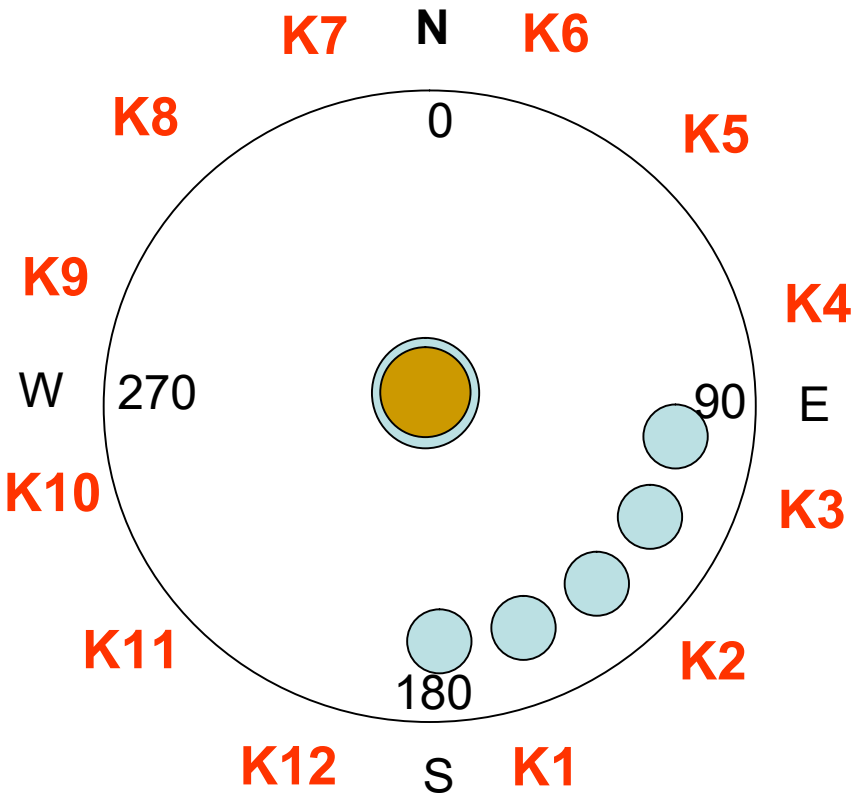

kąt w prawo od N	K1 Bi 25min	K2 Mg 30min	K3 Sb 12min
[°]	zasieg K1 [cm]	zasieg K2 [cm]	zasieg K3 [cm]
100	110	120	120
120	110	180	240
140	130	240	120
160	220	130	110
180	110	120	110

Powiązanie kolorów radiestezyjnych z Kategoriami

Kategoria	kolor radiestezyjny	oznaczenie koloru radiestezyjnego
K1	czarny	C
K2	podczerwony	Pcz
K3	czerwony	Cz
K4	pomarańczowy	P
K5	żółty	Ż
K6	zielony	Z
K7	niebieski	N
K8	indygo	I
K9	fiolet	F
K10	ultrafiolet	UF
K11	biały	B
K12	zieleń ujemna	Ω, V-

Nadajnik tarczowy
(Chaumery, Belizal)

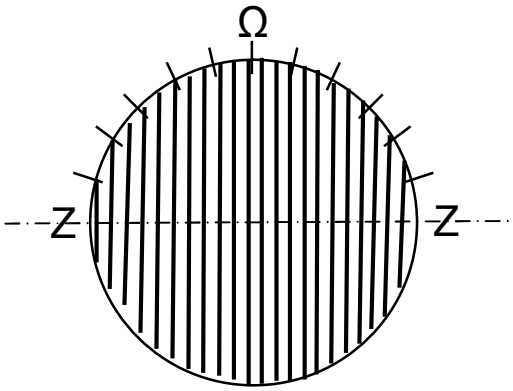

Mermet – promień świadka

Sprzężenie między kulami stalowymi

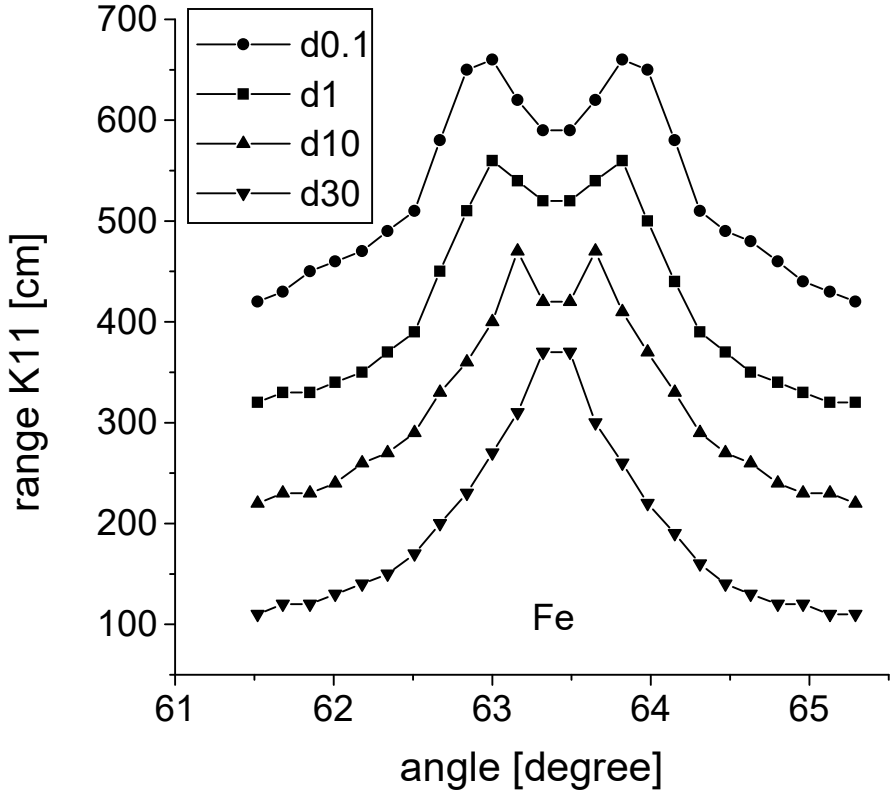

Rozdzielenie sygnału kuli na spektrum w zależności od wielkości sprzężenia między dwiema kulami stalowymi o średnicy 25mm. Po kolei od góry występuje rosnąca odległość między kulami: 0,1; 1;, 10; 30 mm.

Przyciąganie rezonansowe

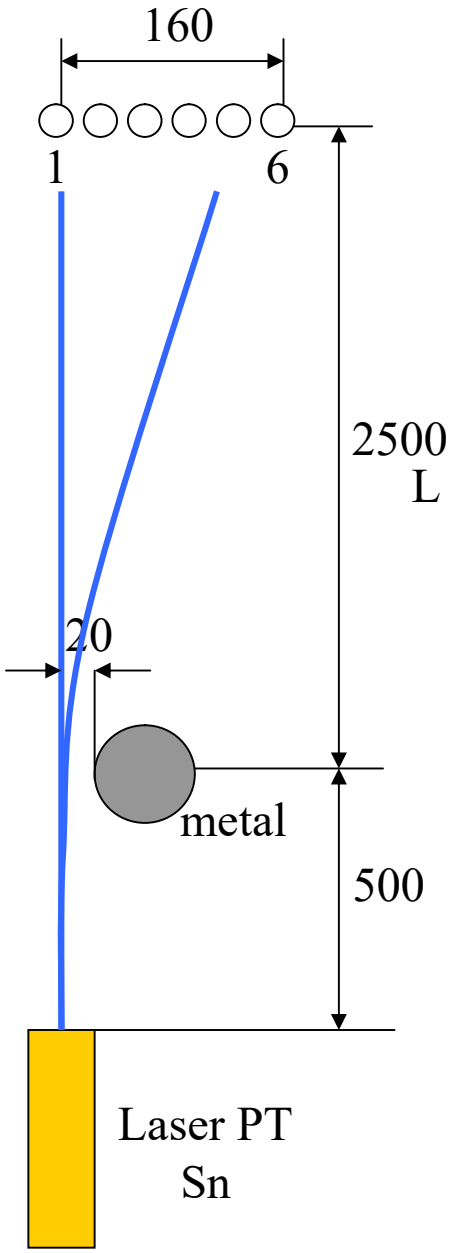

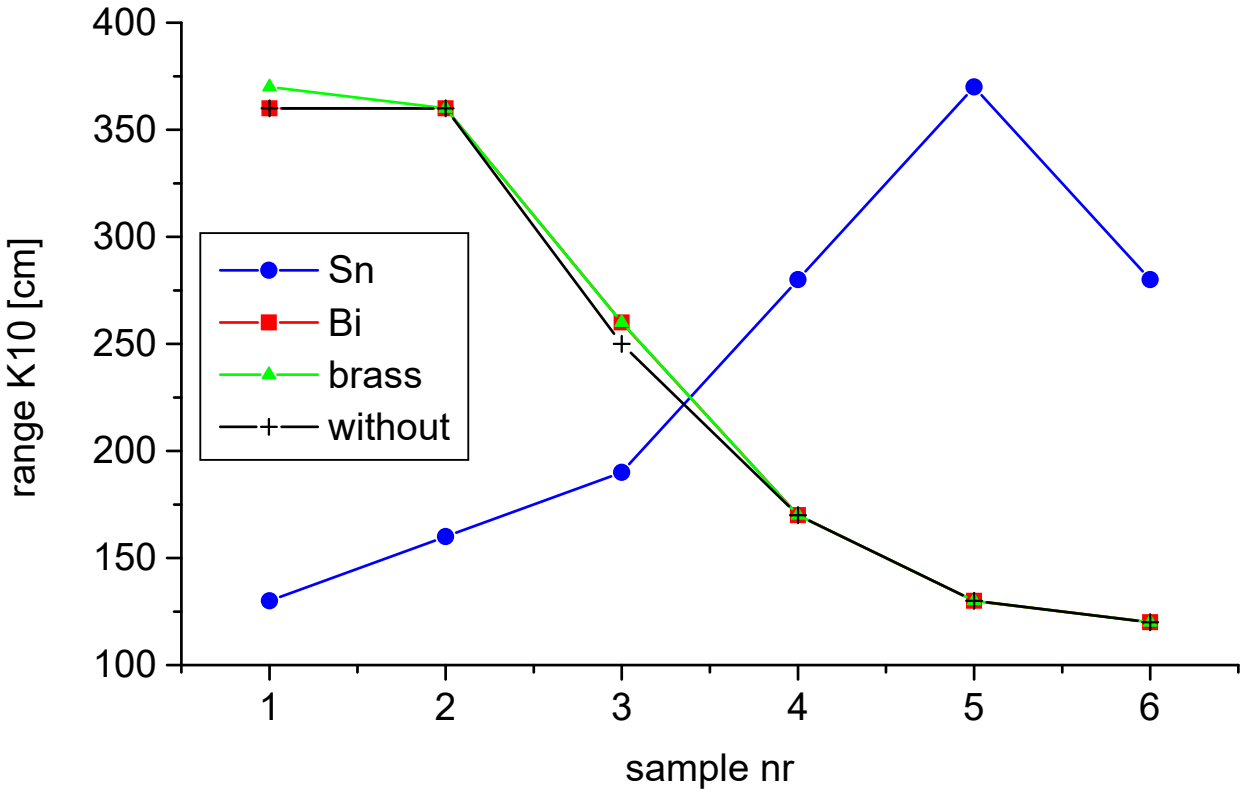

Laboratorium Belizala

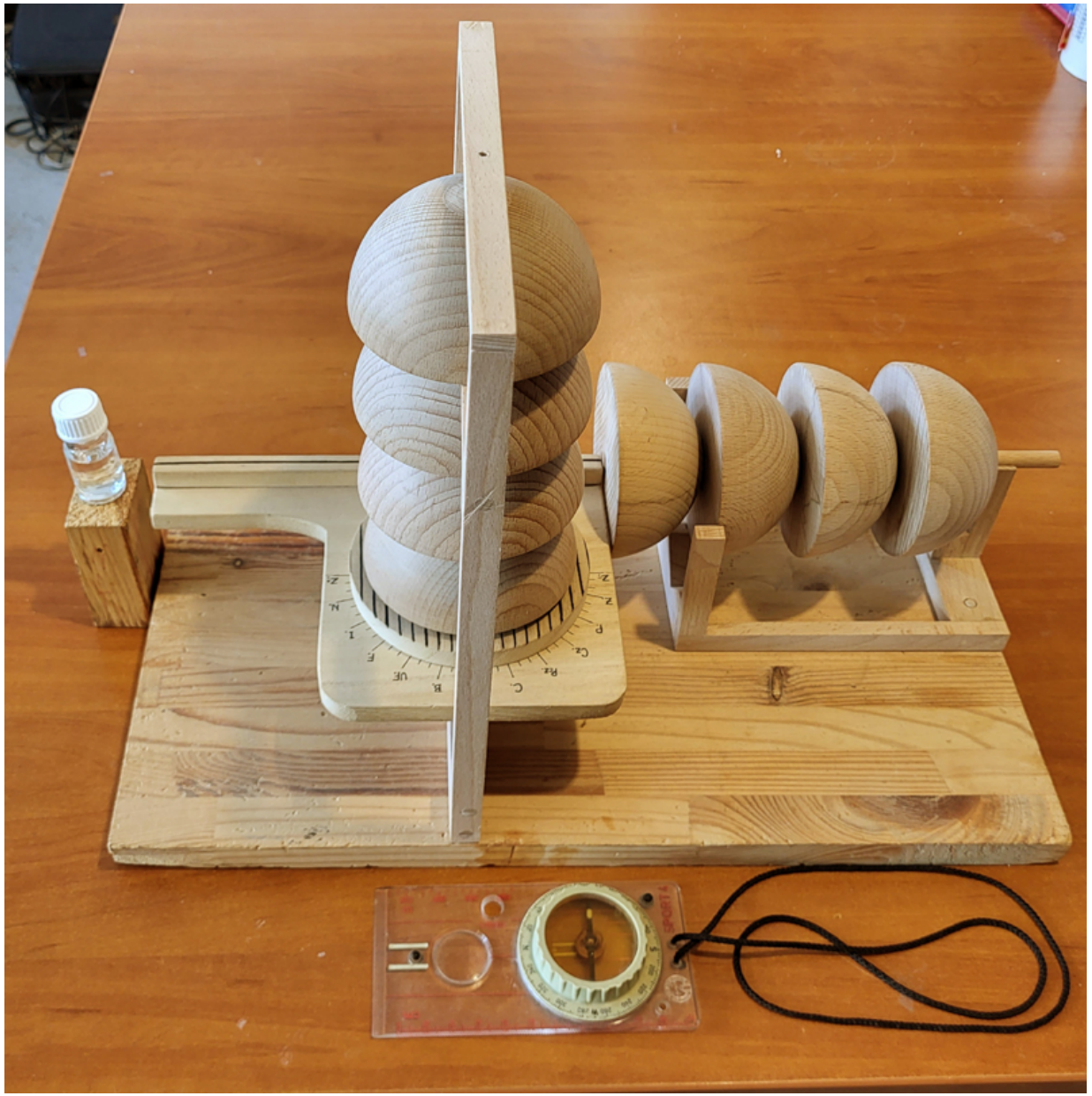

Chaumery i Belizal – wahadła uniwersalne

południk magnetyczny – polaryzacja pionowa
południk elektryczny – polaryzacja pozioma

Leon Chaumery, Andre Belizal
FR816132

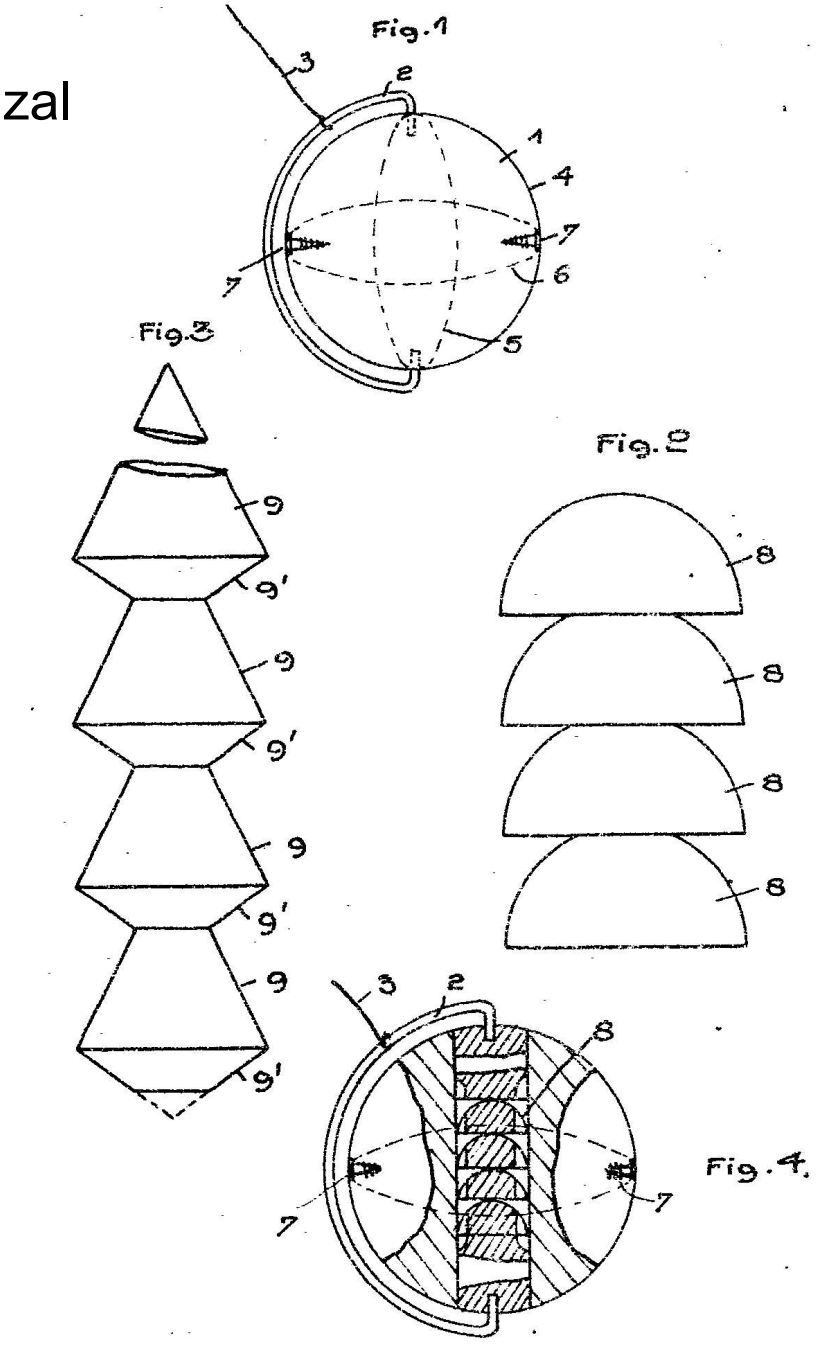

Wahadła uniwersalne

Generacja fraktala planetarnego

K6 Pd
↓ +180º ↓
K9 Pn
↓ +180º
K11
↓ +180º
K3
↓ +180º +180º +180º
K6 **K6** → **K6** → **K6**
↓ +60º -60º
K7 wsch → zach

Zmiana Kategorii w zależności od kąta

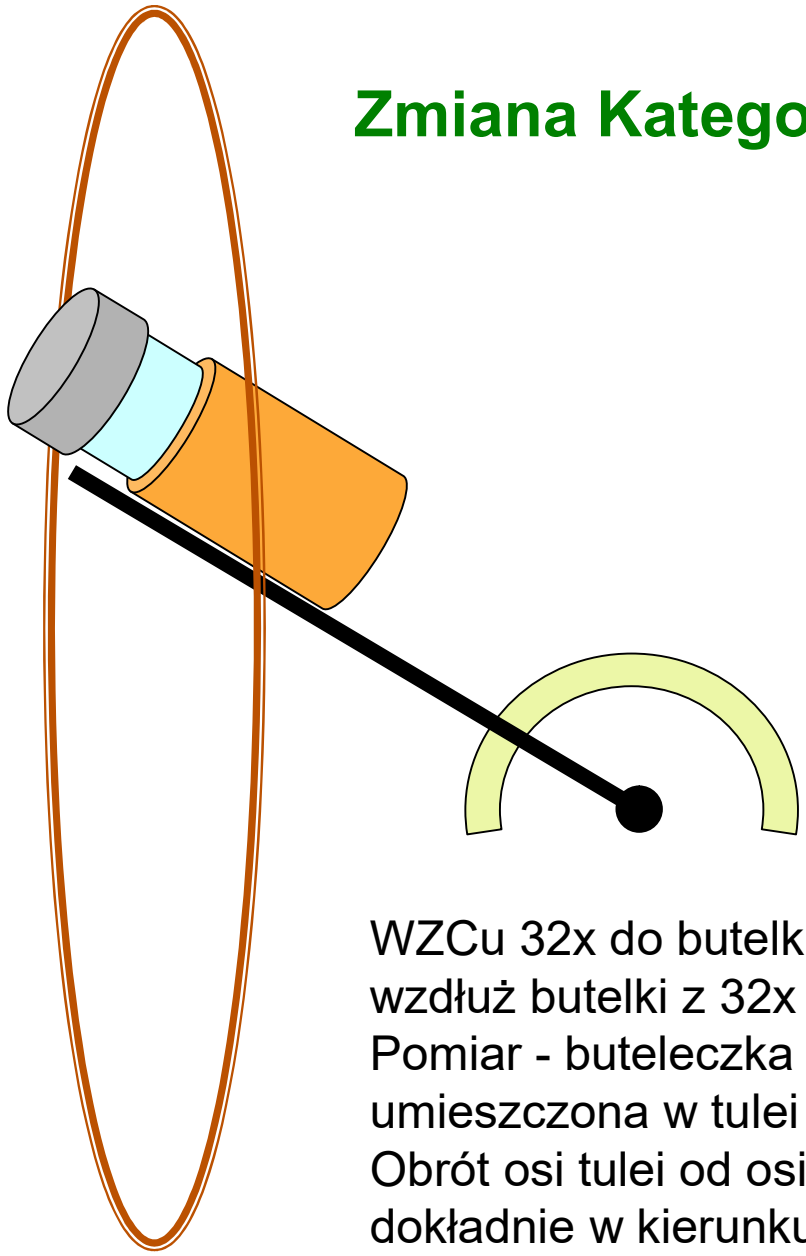

WZCu 32x do butelki do hodowli 100ml. Z lasera na tuleję wzdłuż butelki z 32x Cu 30s.
Pomiar - buteleczka φ21 z 20% alkoholem albo z wodą umieszczona w tulei na 15s.
Obrót osi tulei od osi pionowej (90º) do poziomej (0º) dokładnie w kierunku południowym.

Obroty o małe kąty

Kategoria	0º	5º	10º	15º	20º	25º	30º
	zasięg [cm]	zasięg [cm]	zasięg [cm]	zasięg [cm]	zasięg [cm]	zasięg [cm]	zasięg [cm]
K1					170	190	170
K2					170	170	190
K3							
K4							
K5							
K6							
K7							
K8	190	170	170	170	170	170	170
K9	280	300	280	280	280	170	170
K10	170	170	190	170	170	280	280
K11	170	170	170	190	170	170	170
K12	170	170	170	170	190	170	170

W obrocie tulei wokół poziomej osi zakodowany jest nie tylko spin 1/2 ale i fraktal planetarny.

	obręcz 0,04T G/D			pole ziemskie		
Kategoria	90º	85º	25º	90º alk.	85º alk.	25º woda
	zasięg [cm]	zasięg [cm]	zasięg [cm]	zasięg [cm]	zasięg [cm]	zasięg [cm]
K1	210	230	220	160	160	190
K2	230	230	230	170	150	170
K3	230	210	210	160	150	
K4	210	210	210	160	150	
K5	210	220	300	160	150	
K6	300	300	210	160	150	
K7	210	220	210	160	150	
K8	210	210	210	160	150	170
K9	210	210	210	160	150	170
K10	210	210	280	160	150	280
K11	280	280	210	240	240	170
K12	210	210	210	160	150	170

	sygnał z obręczy względem PT tulei
	sygnał z tulei względem PT obręczy
	sygnał z tulei względem PT ziemi
	sygnał z PT ziemi względem PT tulei

Po zastosowaniu obręczy z wirowym polem torsyjnym pojawia się nowy fraktal, który przy wzroście intensywności PT w obręczy do odpowiednika 0,16T wypchnie fraktal związany z Ziemią

obręcz	0,16T G/D			0,08T G/D		
Kategoria	90º	85º	25º	90º	85º	25º
	zasięg [cm]	zasięg [cm]	zasięg [cm]	zasięg [cm]	zasięg [cm]	zasięg [cm]
K1	210	210	210	210	210	210
K2	210	230	230	210	230	230
K3	230	210	290	230	210	240
K4	270	270	210	240	240	210
K5	210	210	300	210	210	300
K6	300	300	220	300	300	220
K7	210	210	210	210	220	210
K8	230	210	210	220	210	210
K9	210	210	210	210	210	210
K10	210	210	210	210	210	220
K11	210	210	210	220	210	210
K12	210	210	210	210	210	210

	sygnał z obręczy względem PT tulei
	sygnał z tulei względem PT obręczy
	sygnał z tulei względem PT ziemi
	sygnał z PT ziemi względem PT tulei

Przy intensywności odpowiadającej 0,16T sygnał od Ziemi jest już niewidoczny

Długość fali kolorów radiestezyjnych

ilość folii	dys-tans	zasięg K1	zasięg K2	zasięg K3	zasięg K4	zasięg K5	zasięg K6	zasięg K7	zasięg K8	zasięg K9	zasięg K10	zasięg K11	zasięg K12
	[mm]	[cm]	[cm]	[cm]	[cm]	[cm]	[cm]	[cm]	[cm]	[cm]	[cm]	[cm]	[cm]
0	0			20	20			20	20	20			20
1	0,1	50			60			60	80	40			50
2	0,2	150			160			160	170	110			130
3	0,3	270			250			230	270	200			210
4	0,4	350			350			300	330	300			300
5	0,5	270			330			340	350	350			350
6	0,6	200			260			320	300	310			310
7	0,7	110			120			280	180	230			250
8	0,8	40			40			200	100	120			140
9	0,9	20			20			70	60	60			90
10	1,0	70			70			20	40	20			40
11	1,1	170			160			60	20	80			20
12	1,2	270			220			140	90	150			50
13	1,3	340			310			240	170	250			150
14	1,4	320			350			310	280	330			240
15	1,5	290			250			350	340	350			330
16	1,6	140			150			320	350	280			320
17	1,7	70			70			260	260	210			270
18	1,8	30			30			120	130	140			170
19	1,9	20			20			50	50	60			70
20	2,0	70			50			20	20	20			40
21	2,1	170			140			70	50	70			20
22	2,2	250			250			130	120	140			80
23	2,3	340			330			200	210	230			190
24	2,4	290			350			300	330	310			280
25	2,5	200			300			350	340	350			350
26	2,6	90			260			300	300	310			330
27	2,7	40			140			240	200	230			250
28	2,8	30			50			110	70	140			140
29	2,9	20			30			40	30	70			30
30	3,0	30			20			20	20	20			20
31	3,1	90			40			60	70	30			70

Absorpcja fotonu

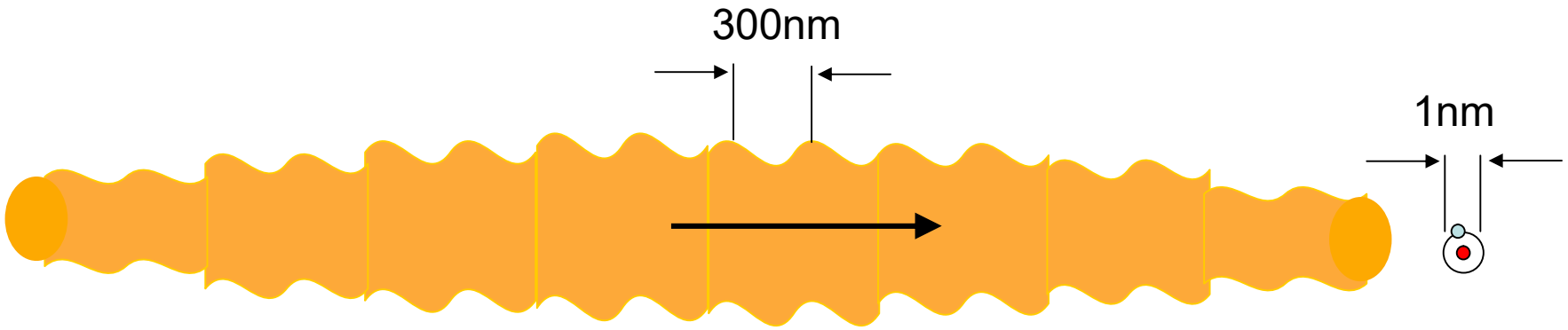

Trzeba się jakoś skurczyć!

Kurczenie się cząstek pola torsyjnego

1. Zastosowanie kolimatora ze szczeliną wypełnioną miedzią lub srebrem powoduje wielokrotne skrócenie dugości fali, a przez to usunięcie dyfrakcji.

2. Fala świetlna długości kilkuset nanometrów musi sie skurczyć kilkaset razy aby „zniknąć” lub raczej schować się w elektronie podczas zjawiska absorpcji światła.

3. Cząstki pola torsyjnego spełniają warunki nośnika pamięci długoterminowej człowieka. (artykuł: Cząstki pola torsyjnego w pamięci asocjacyjnej człowieka www.torsionfield.eu)

4. Czy można zmniejszyć informację kształtów przestrzennych dla potrzeb komputera opartego o cząstki pola torsyjnego, mającego całe rzędy wielkości większą pojemność od współczesnych komputerów?

Jak to zrobić?

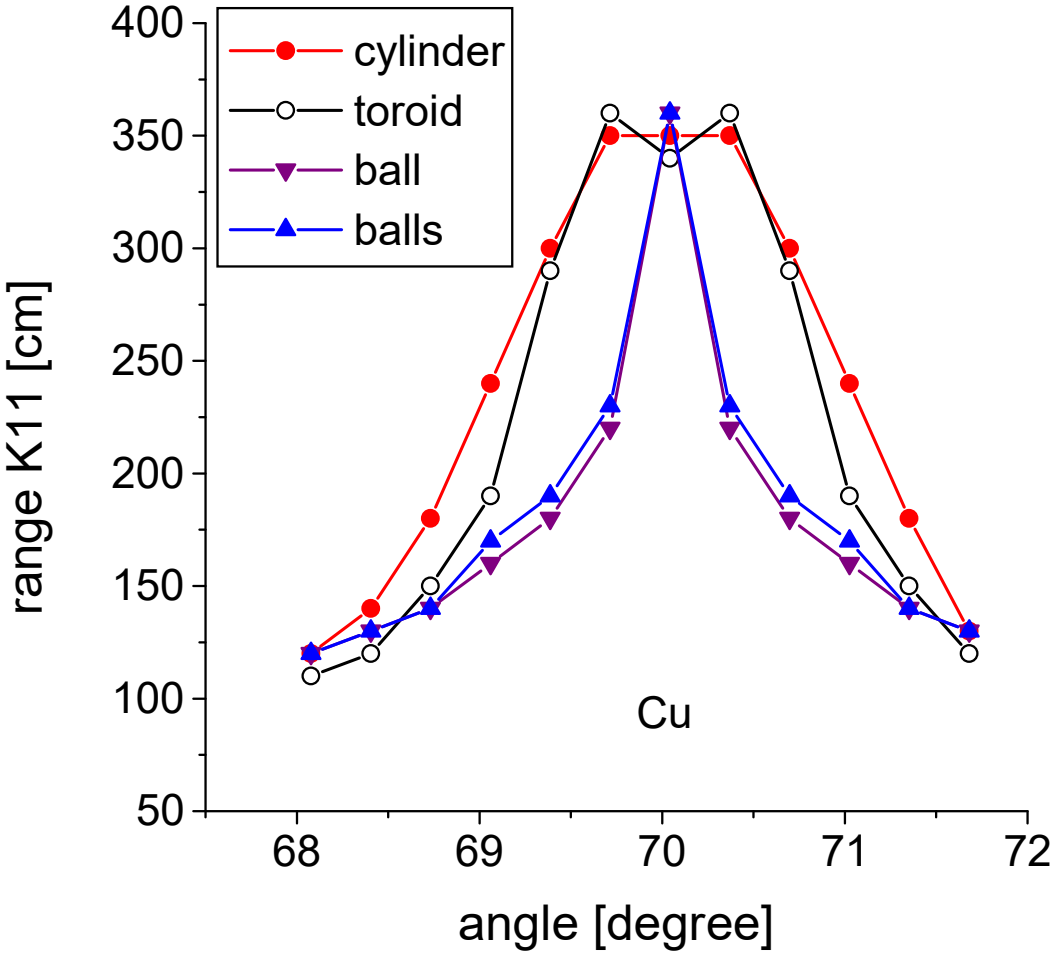

kąt aprok s	walec Cu φ20x 20 x10	walec Cu φ6x6 x16	walce Cu φ1,8 2,7g x14	5 drutó w φ1,8 x33 x14	walce Cu φ0,8 2,7g x14	drut φ0,4 kłębe k 2,6g x16	drut φ0,25 kłębe k 2,5g x16	drut φ0,13 kłębe k 2,5g x19	drut φ0,07 kłębe k 2,5g x22
[º]	zasięg K11 [cm]	zasięg K11 [cm]	zasięg K11 [cm]	zasięg K11 [cm]	zasięg K11 [cm]	zasięg K11 [cm]	zasięg K11 [cm]	zasięg K11 [cm]	zasięg K11 [cm]
61,20	120	110	120	110	120	110	110	110	120
61,53	130	120	130	120	130	130	120	120	160
61,85	150	140	140	130	140	150	130	130	220
62,18	170	160	150	140	160	170	150	160	270
62,51	190	180	170	170	180	180	170	190	340
62,84	220	210	210	220	220	200	190	220	370
63,16	350	340	340	330	350	320	300	340	370
63,49	350	340	340	330	350	320	300	330	370
63,82	210	200	210	210	220	200	200	220	370
64,15	180	180	180	170	190	180	180	190	340
64,47	160	160	160	150	170	170	170	170	270
64,80	150	150	150	140	150	160	160	160	220

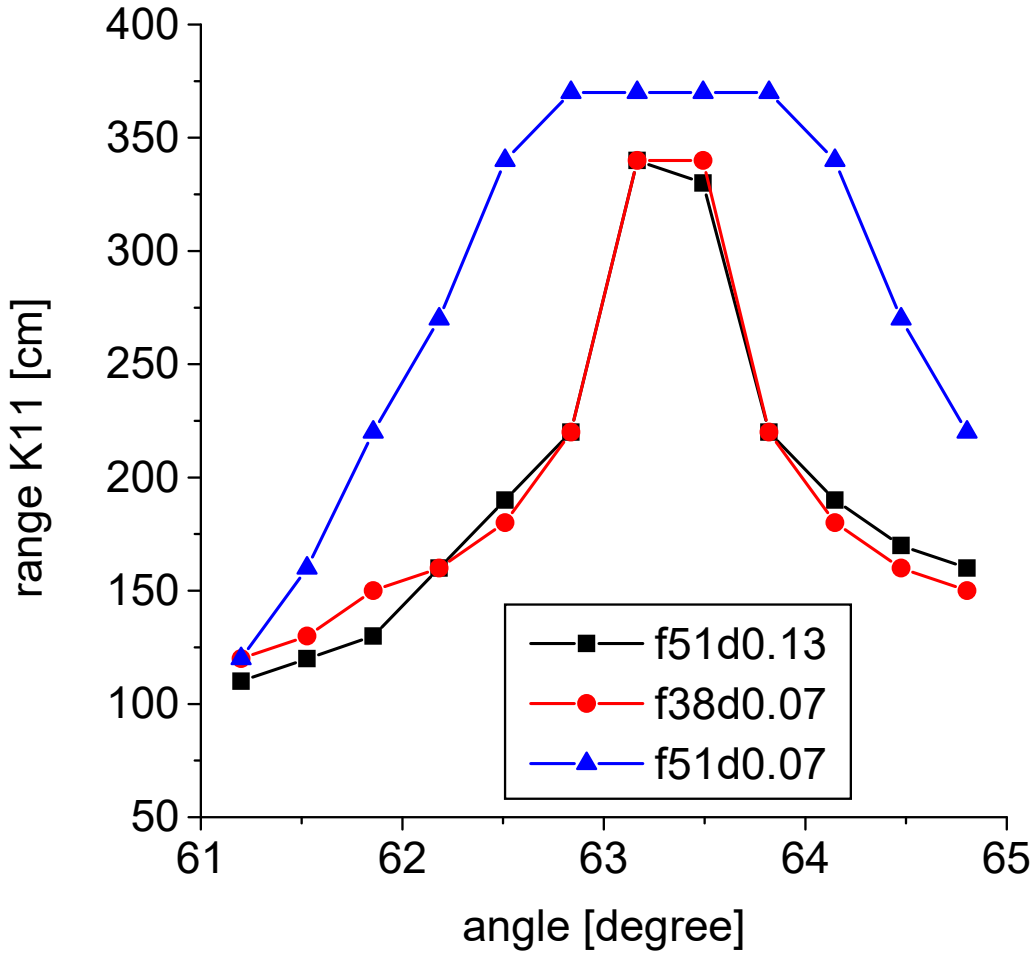

Porównanie sygnałów nie zniekształconej kopii kuli stalowej - dolne dwa wykresy i zniekształconej - górny wykres. f51d0.13 - sygnał z kuli φ51 kopiowany na drut φ0,13, f38d0.07 - sygnał z kuli φ38 kopiowany na drut φ0,07, f51d0.07 - sygnał z kuli φ51 kopiowany na drut φ0,07.

Współczynniki skurczu informacji w różnych nośnikach

nośnik homeopatyczny	nie zniekształcony kształt	zniekształcony kształt	współczynnik kurczenia się cząstki pola torsyjnego
	stosunek średnica kuli/średnica walca	stosunek średnica kuli/średnica walca	n
woda	1,34	1,82	1,6 +/- 0,3
szkło	1,9	2,55	2,2 +/- 0,4
benzen	5,1	7,8	6,5 +/- 1,4
miedź	543	728	640 +/- 100

Problem

Jeżeli cząstka pola torsyjnego albo fala światła ma się skurczyć, to musi wiedzieć do którego punktu mają zmierzać wszystkie peryferia. Ten punt określam jako punkt skupienia.

Czy w cząstce pola torsyjnego jest punkt skupienia?

Celem wstępnego eksperymentu było sprawdzenie, czy punkt centralny kółka wyciętego z blachy stalowej jest w jakiś sposób wyróżniony.

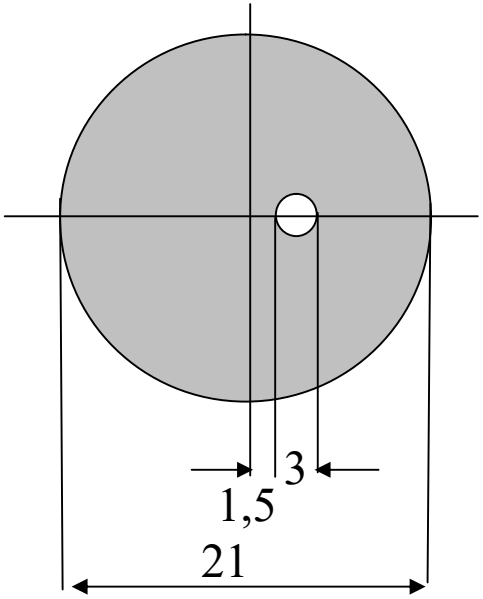

Wymiary kółka stalowego z acentrycznym otworem. Grubość 2,5mm. Zastosowano też analogiczne kółko z centrycznym otworem. Po pomiarze spektrum piku żelaza dla tych kółek, otwory zalutowano czystą cyną i kółka wyszlifowano, tak aby nie było różnicy grubości cyny i stali.

Spontaniczne promieniowanie sygnału żelaza i cyny

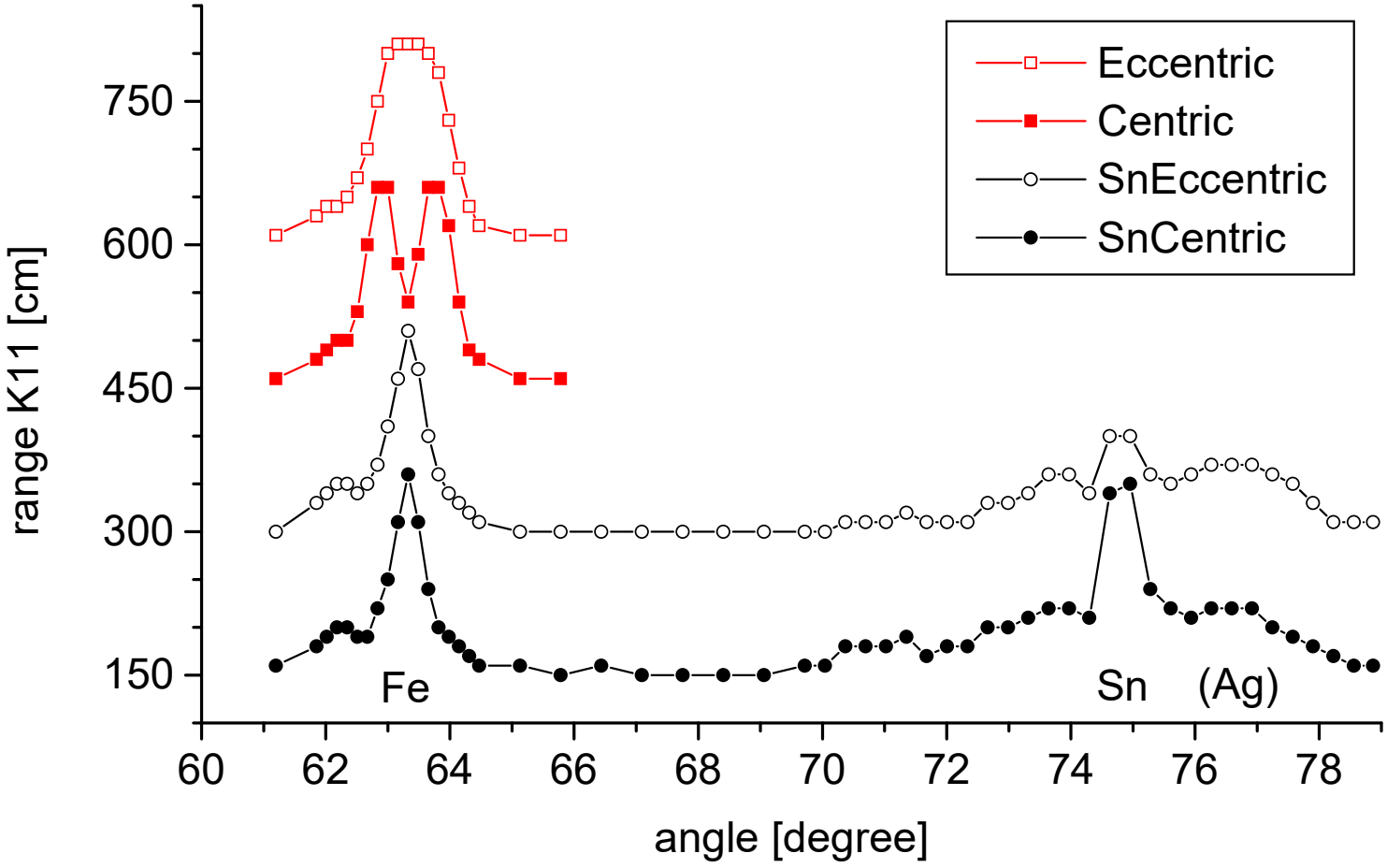

Promieniowanie sygnału żelaza i cyny po wprowadzeniu dodatkowego sygnału żelaznej kuli

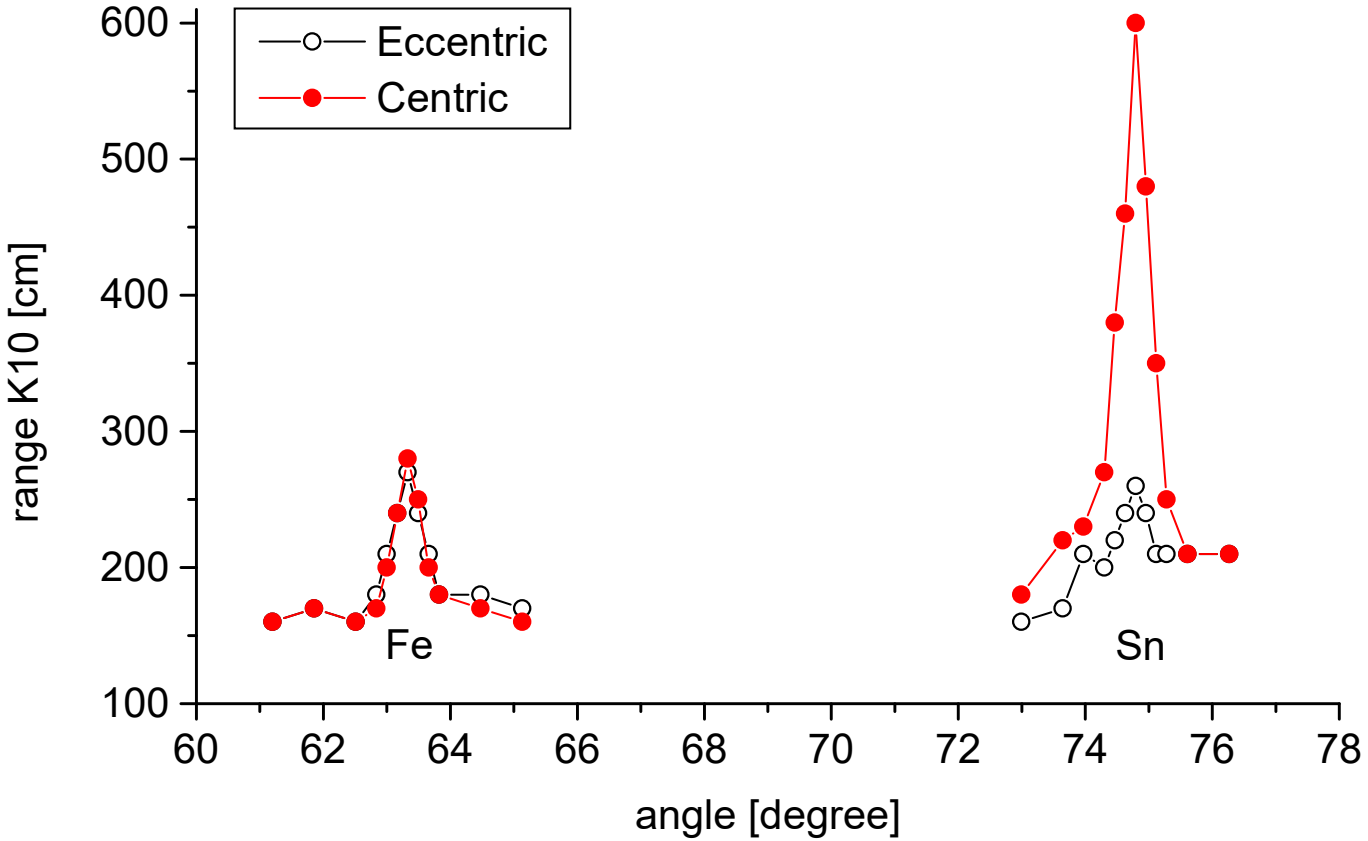

Analogiczne doświadczenie, w którym jednak dominująca część promieniowania pochodzi od zakumulowanego w kółkach sygnału naniesionego akceleratorem ze stalowej kuli φ52

Fe - pik pochodzący od żelaza, Sn - pik pochodzący od cyny.

Przepuszczanie obrazu kuli przez falowód

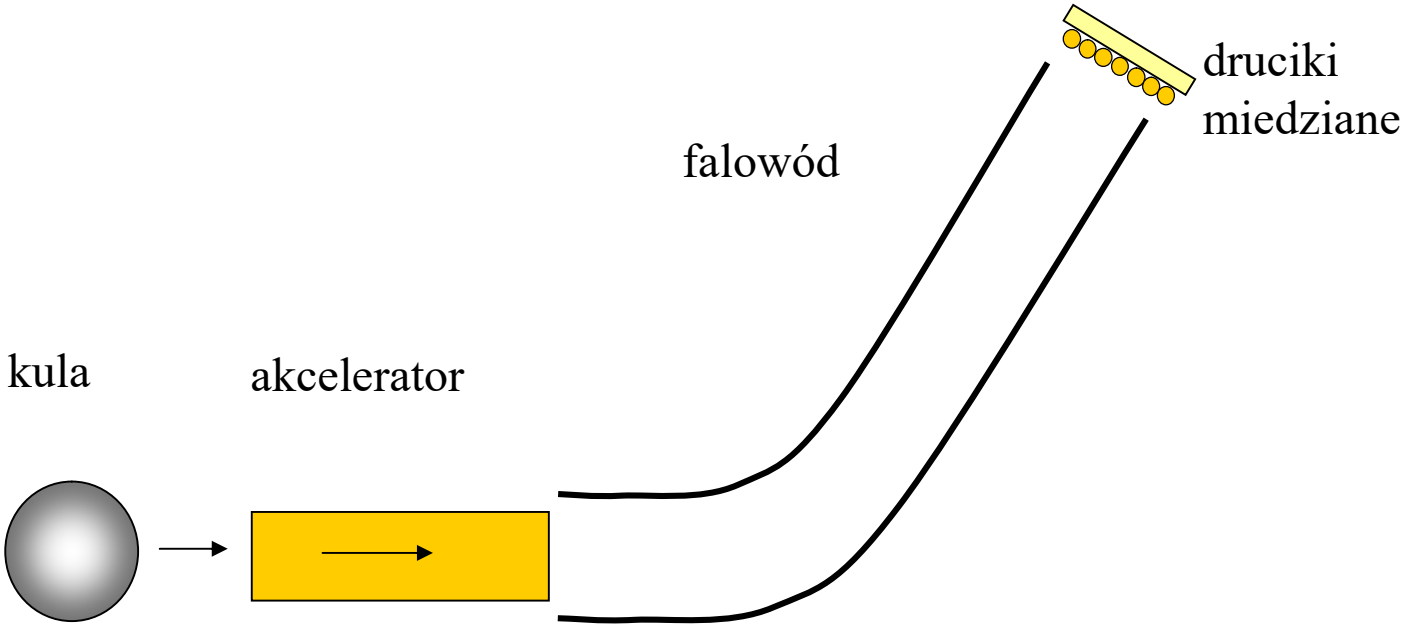

Schematyczny rysunek układu doświadczenia, w którym zastosowano wygięty falowód dla odsunięcia obrazu kuli z wiązki akceleratora i wycentrowania go w ograniczonym przekroju wylotu rury

Punt skupienia w środku kuli

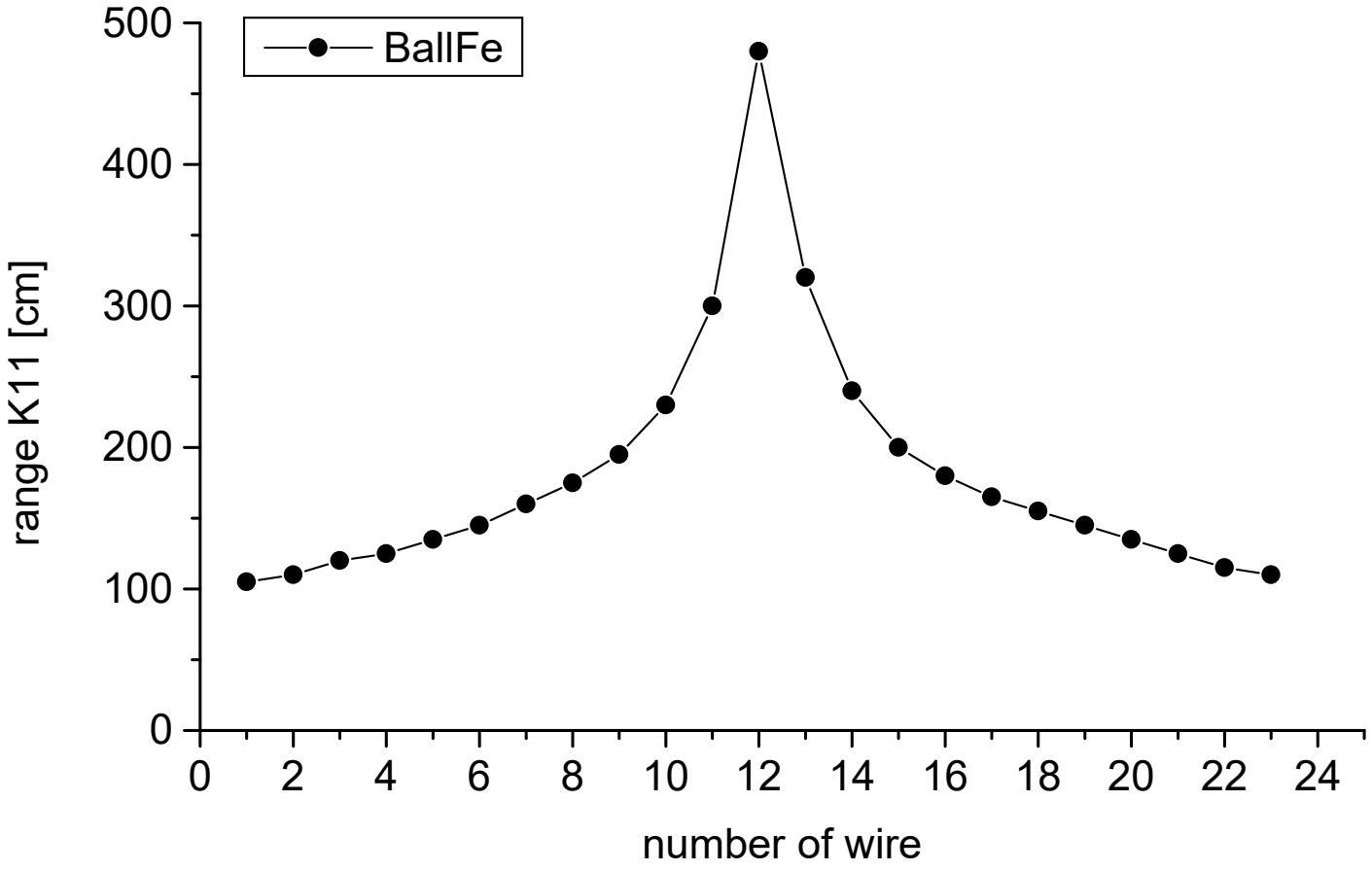

Eksperyment z przeniesieniem obrazu kuli stalowej w postaci cząstek pola torsyjnego przez falowód. Intensywność sygnału K11 jest najwyższa na osi falowodu (drucik nr 12). Oś odciętych - numer kolejny drucika,

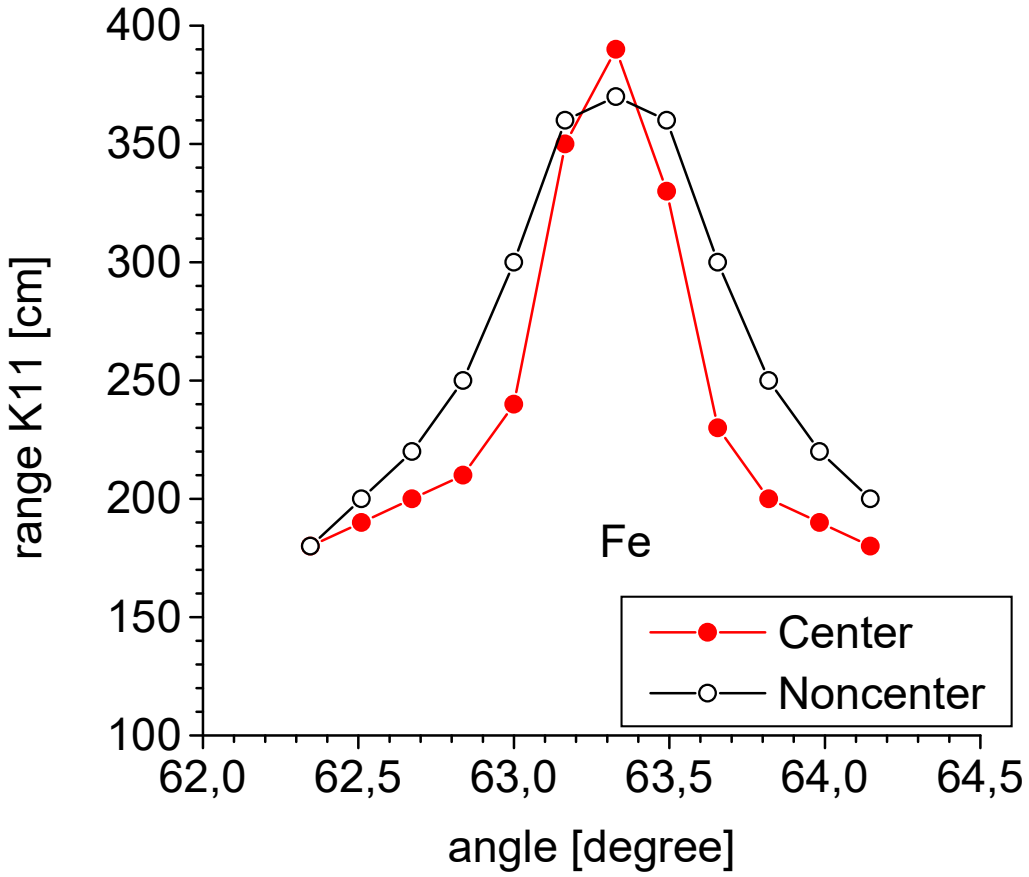

Sygnał brzegowy jest bardziej zniekształcony od sygnału centralnego

Kula uwięziona w butelce

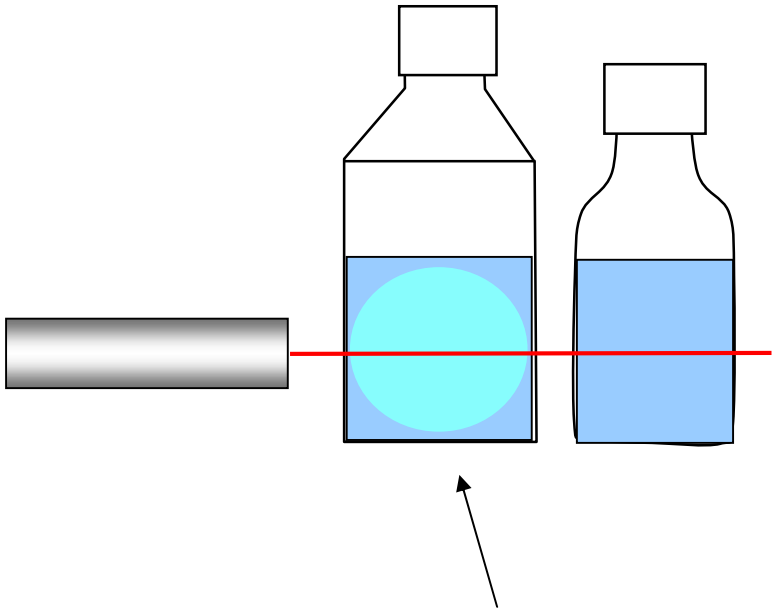

preparat homeopatyczny z kuli stalowej φ 51 w kwadratowej butelce

Punkt skupienia jest w środku kuli

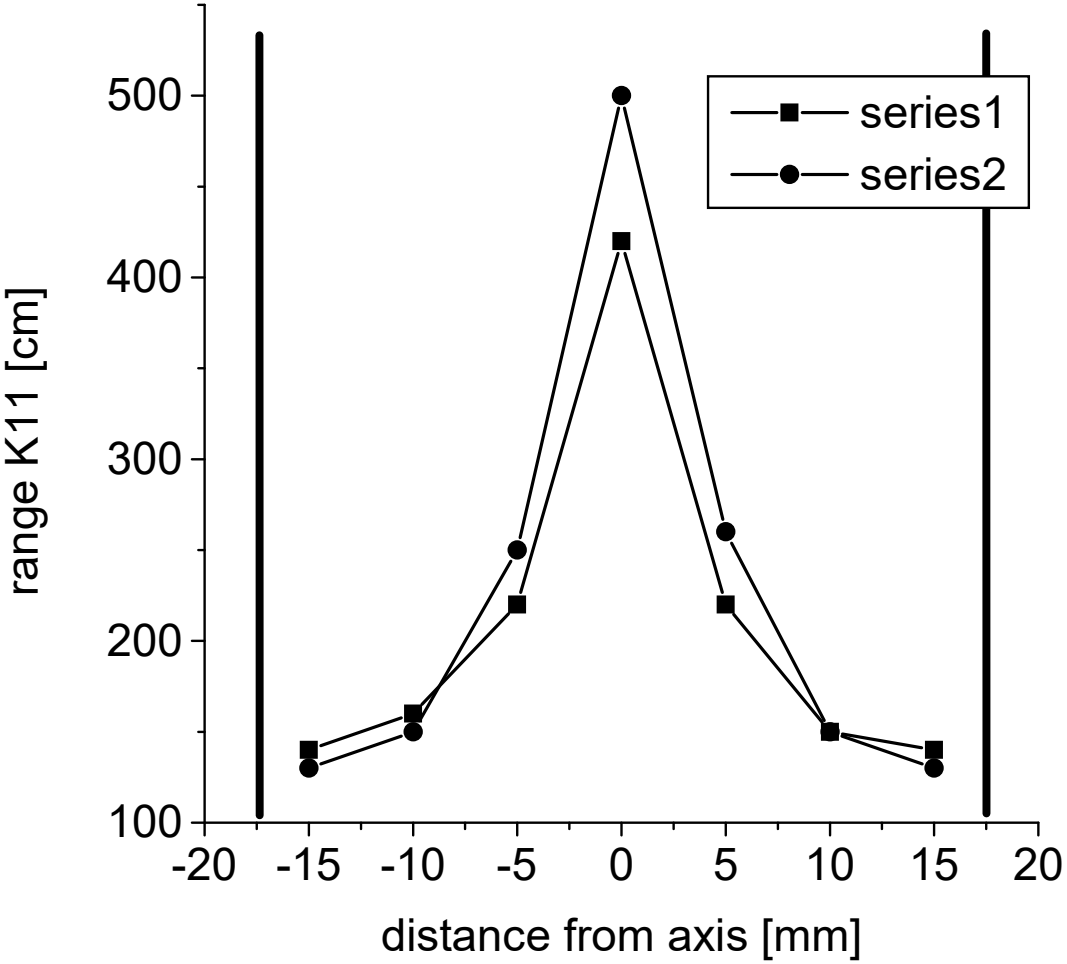

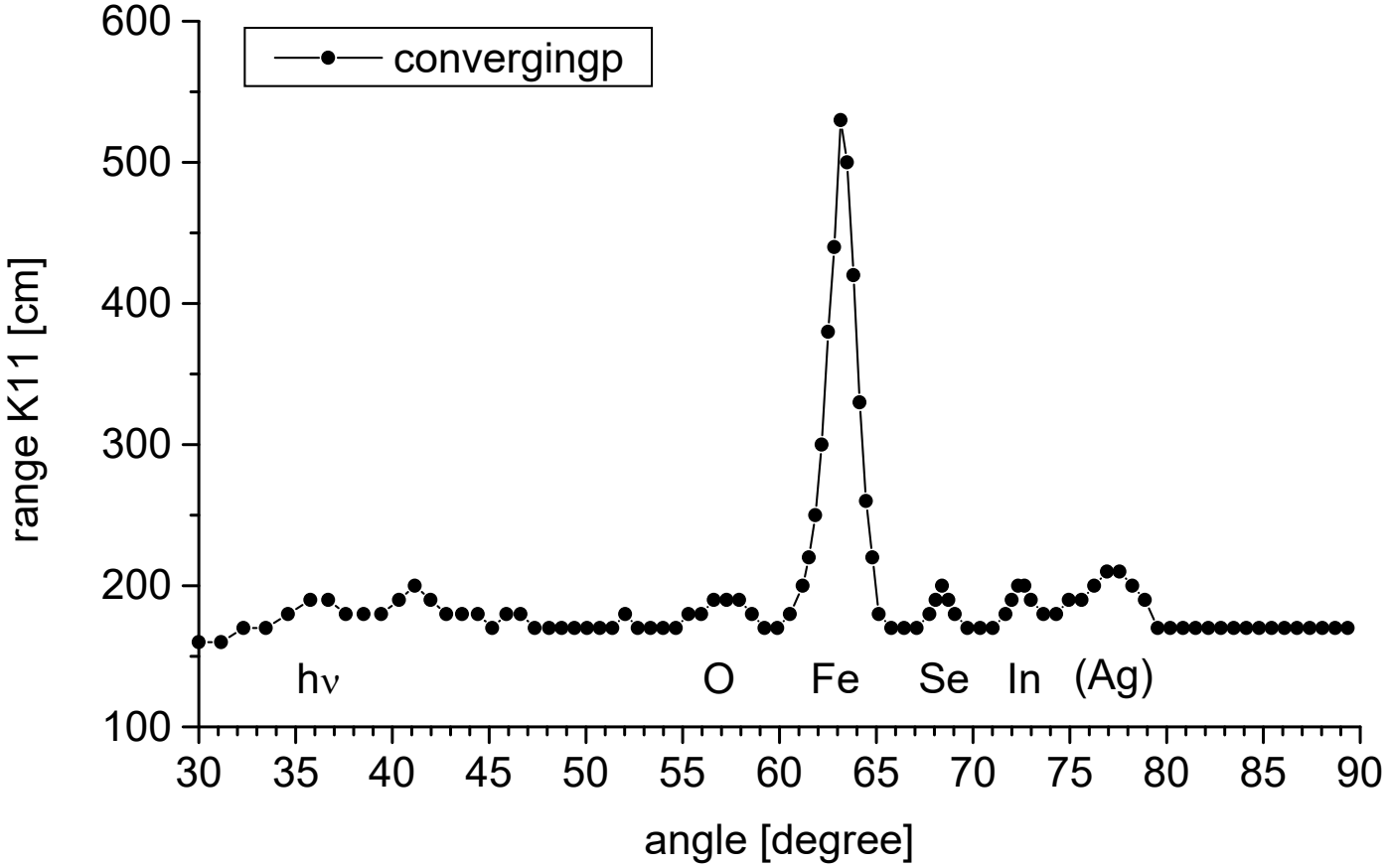

Pełne spektrum sygnału przechodzącego przez punkt skupienia. Widoczny jest silny sygnał żelaza (Fe), pochodzący od kuli i słabsze sygnały fotonów (hv), selenu (Se) i indu (In) pochodzące od lasera.

Punkt skupienia toroidu

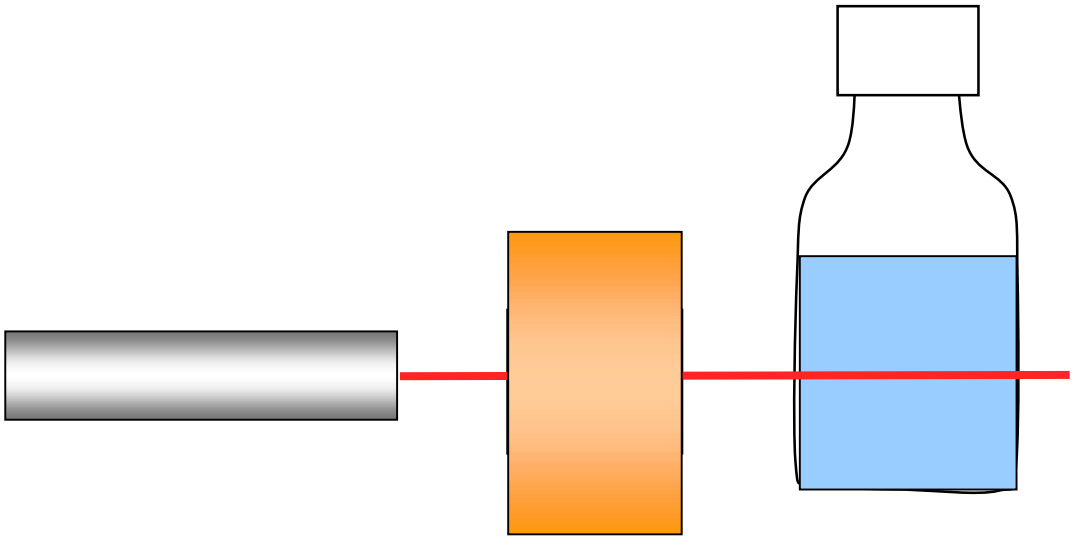

toroid miedziany

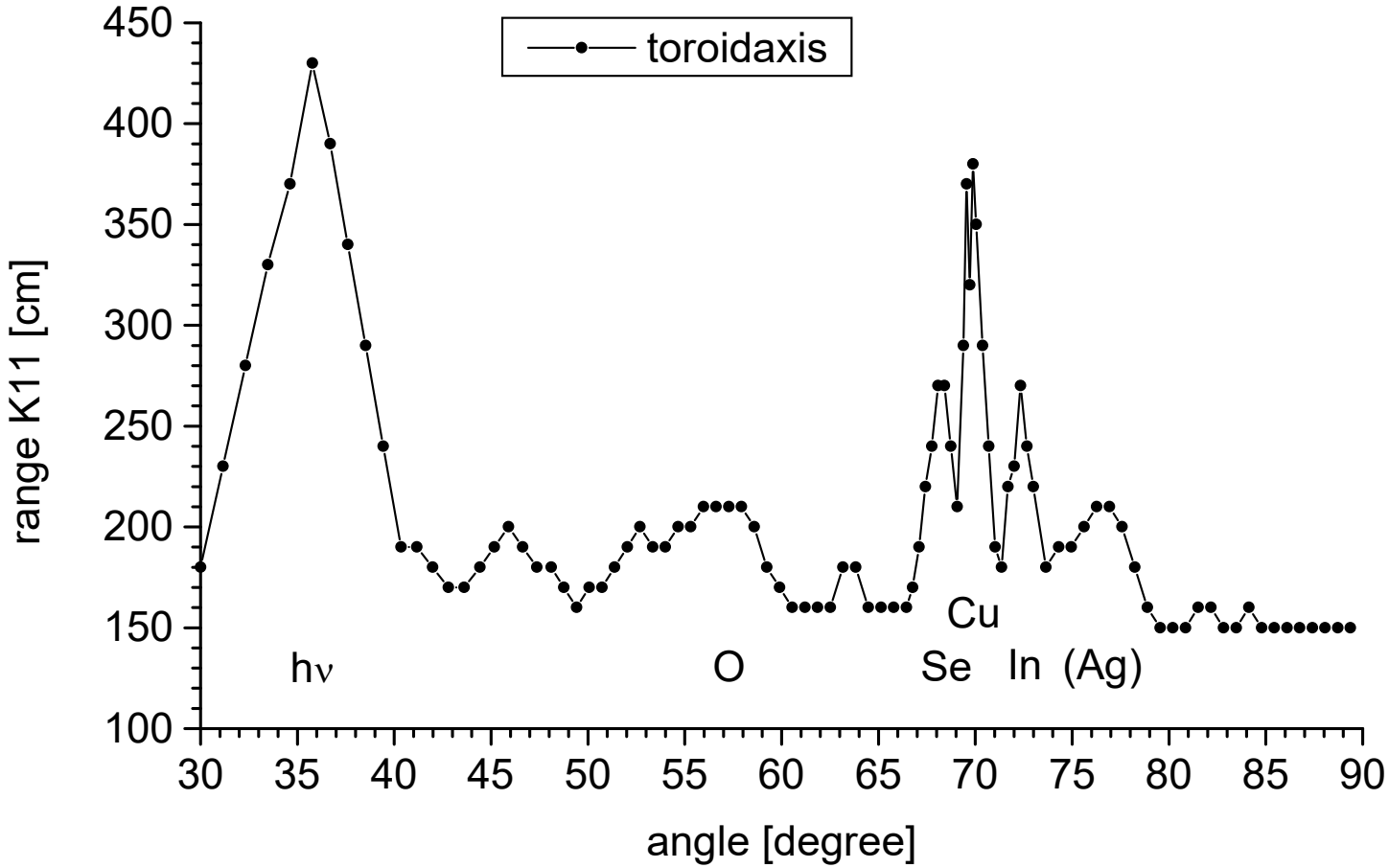

Pełne spektrum uzyskane po przejściu wiązki lasera przez wewnętrzną część miedzianego toroidu. Widoczne są sygnały fotonów (hv), selenu (Se) i indu (In) pochodzące od lasera oraz sygnał miedzi (Cu) pochodzący od toroidu

Wypchnięcie punktu skupienia na zewnątrz

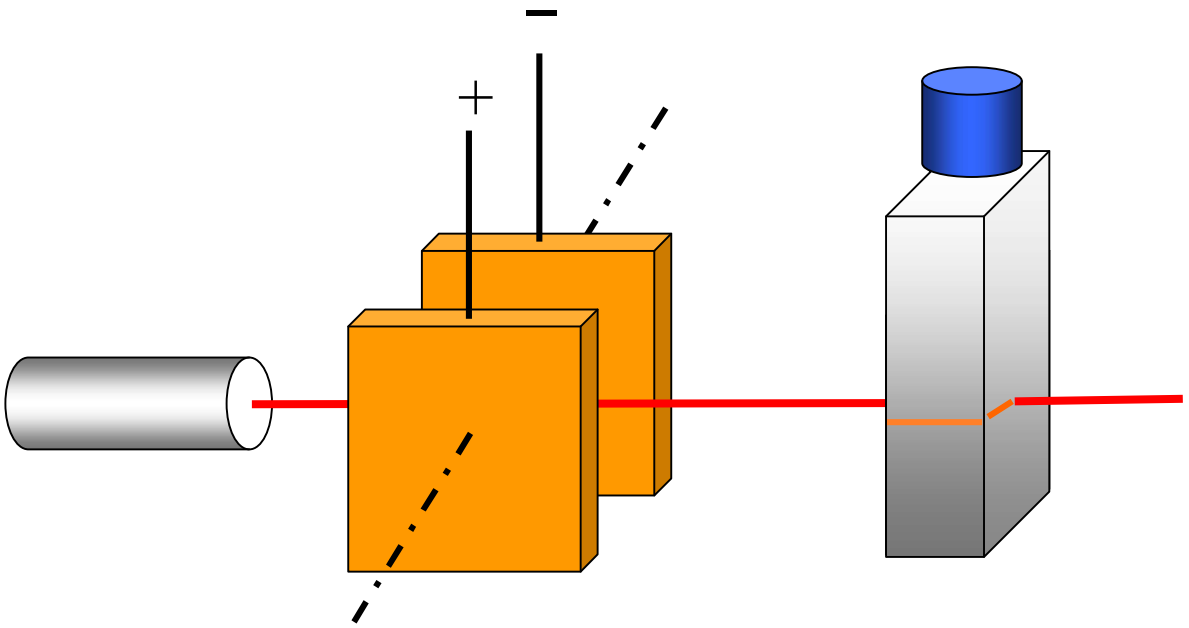

Punkty skupienia

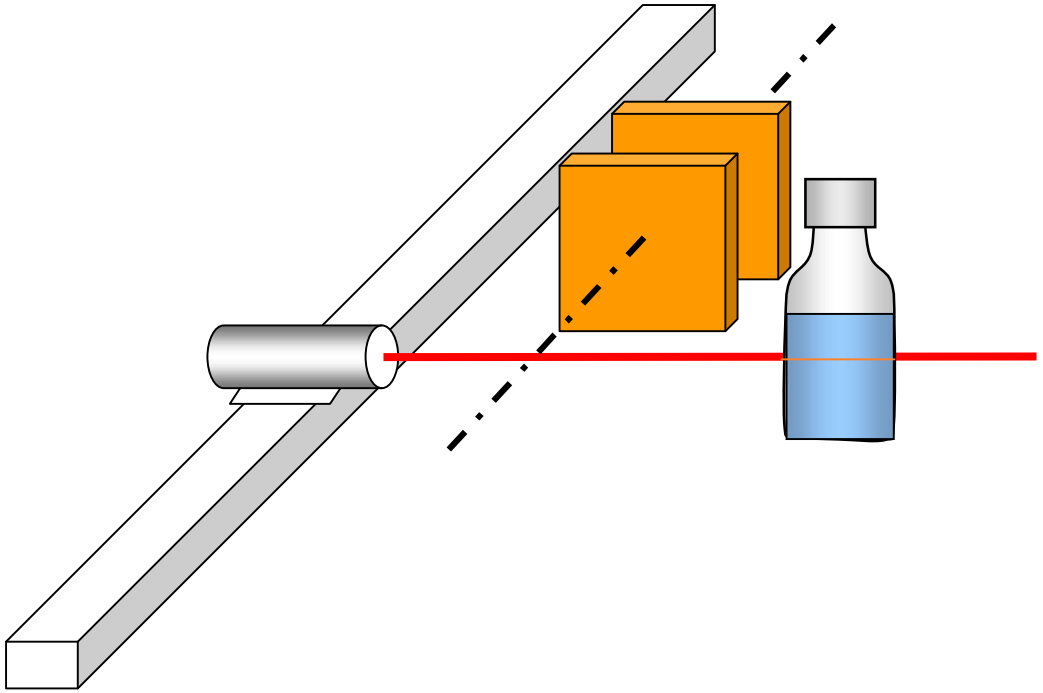

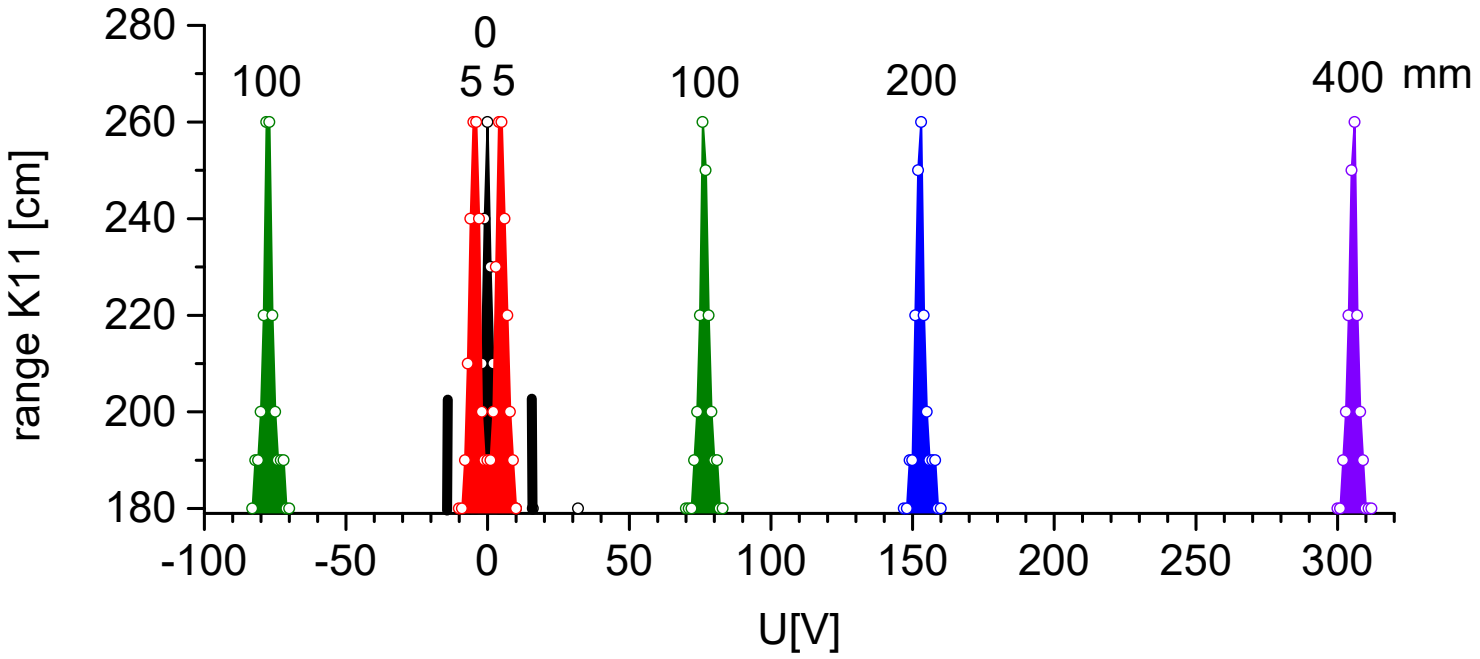

Wykres przedstawiający napięcia potrzebne do przesunięcia punktu skupienia elektrod z położenia centralnego (0mm) do kilku zadanych pozycji: 5mm, 100mm, 200mm, 400mm - wartości podane nad pikami

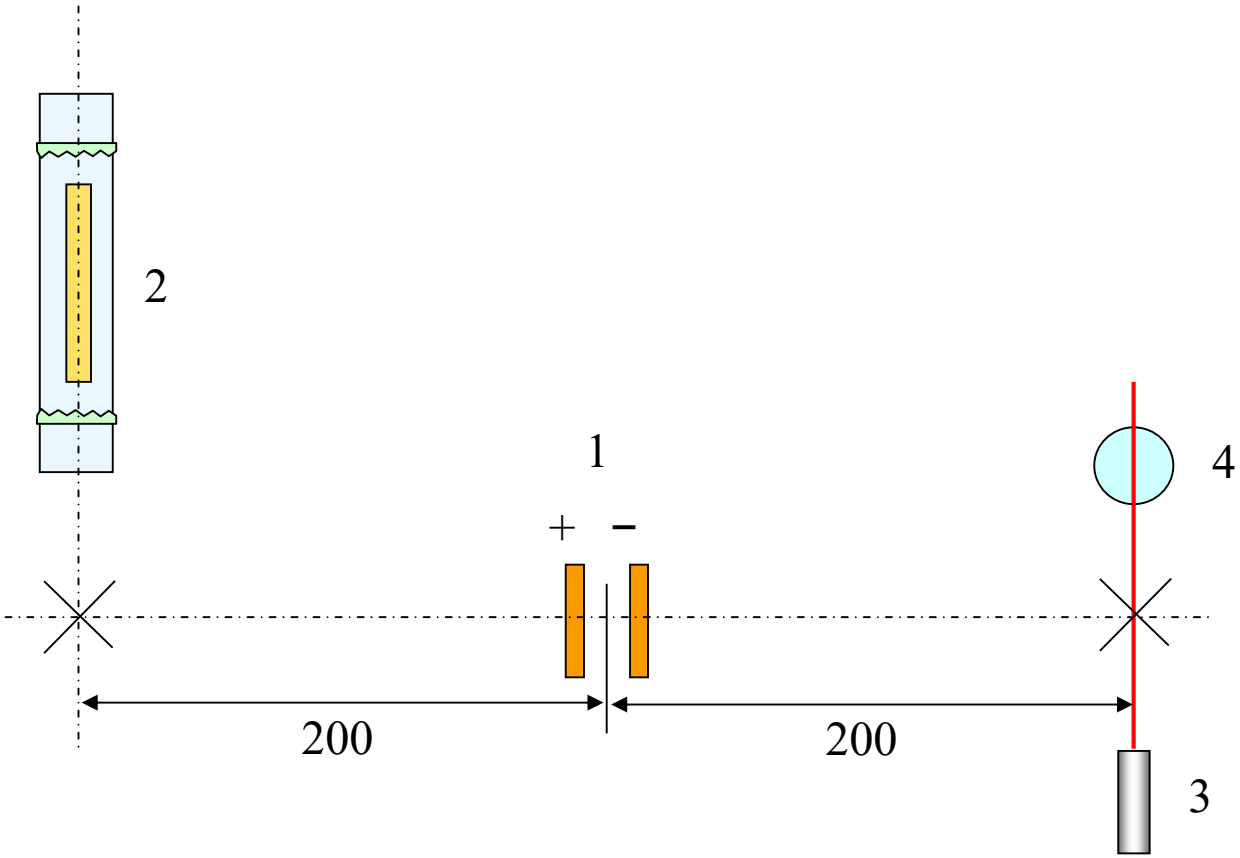

Układ przyrządów wykorzystanych do przesłania informacji pomiędzy punktami skupienia. 1 - zespól elektrod wykorzystanych w poprzednim doświadczeniu, 2 - laser cząstek pola torsyjnego, 3 - laser optyczny 10mW z poprzedniego doświadczenia, 4 - butelka z wodą. Krzyżykami zaznaczono punkty skupienia.

Sygnał cyny został przeniesiony

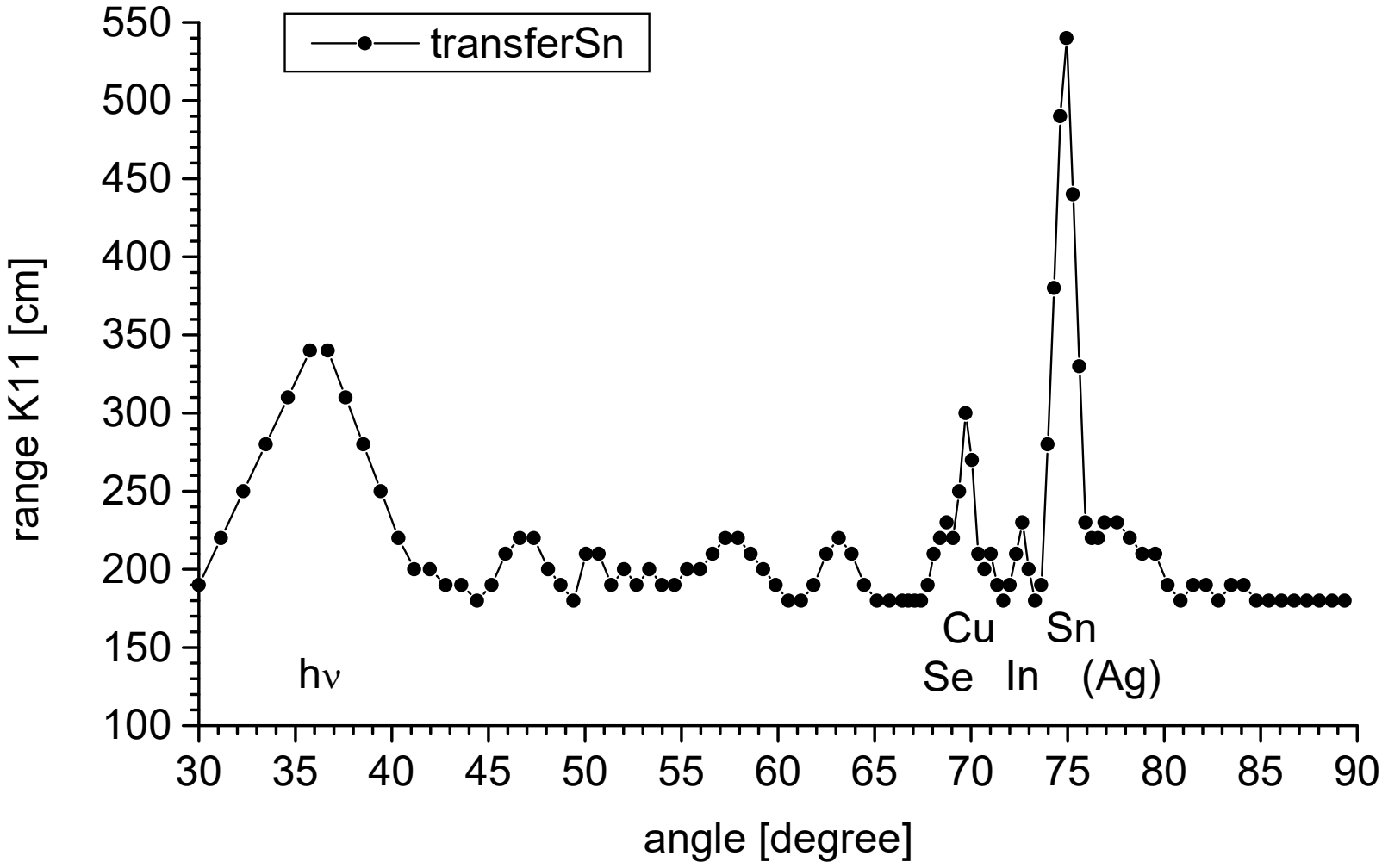

Powłoki wokół kuli

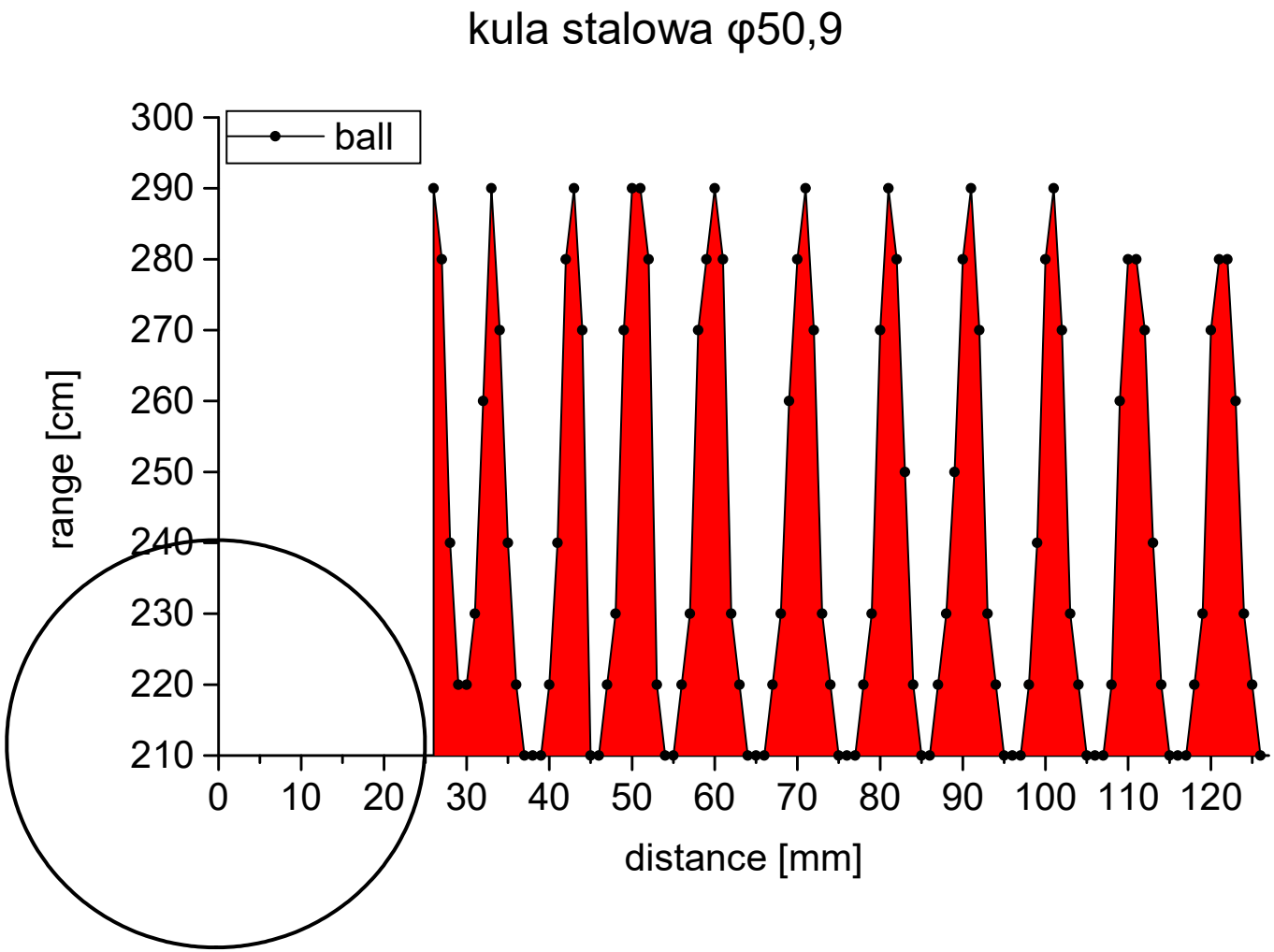

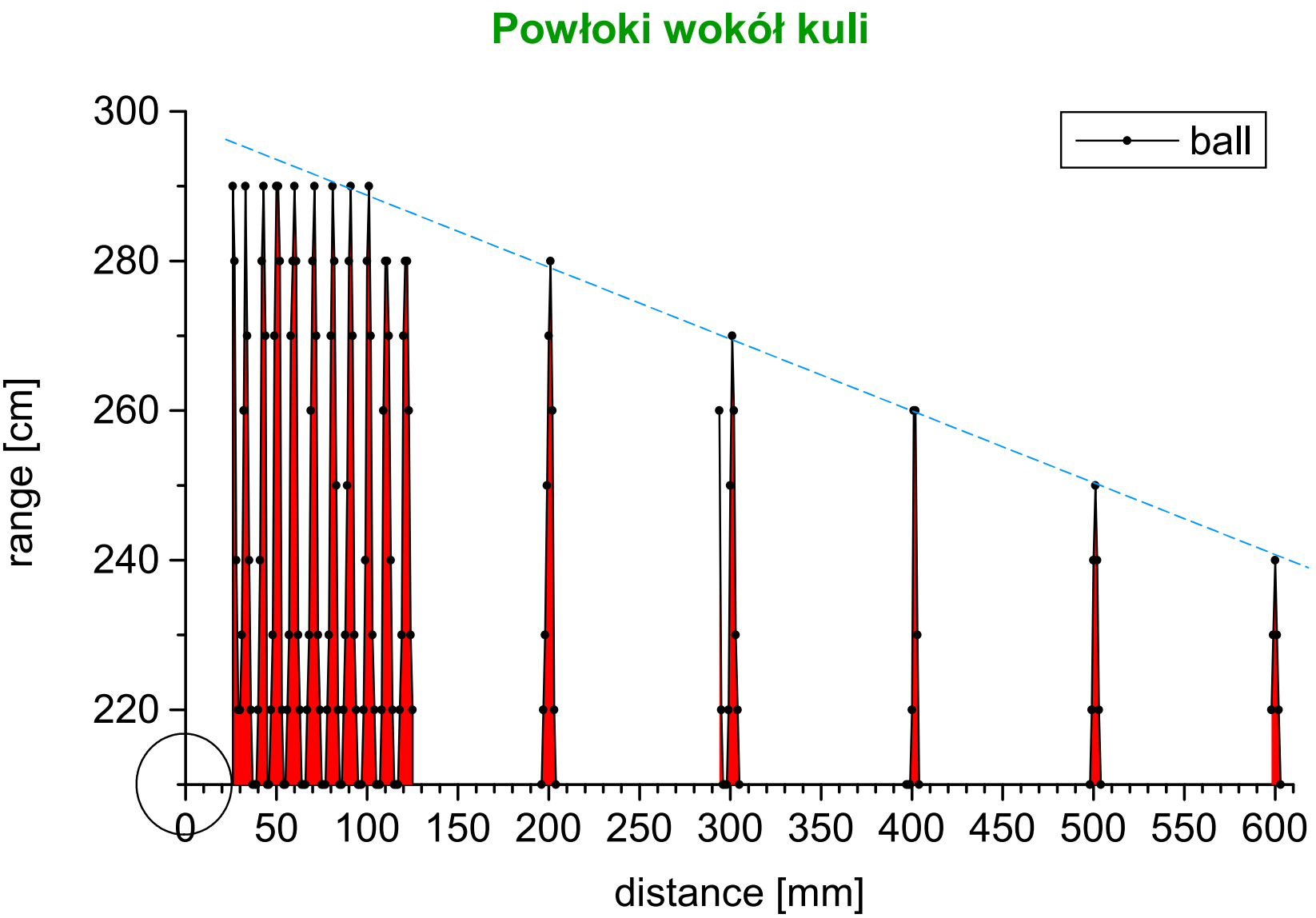
Powłoki wokół kuli
ball
range [cm]
300
280
260
240
220
0
50
100
150
200
250
300
350
400
450
500
550
600
distance [mm]